

STATECZNOŚĆ SPIRALNA SAMOLOTU W RUCHU PRZESTRZENNYM Z UWZGLĘDNIENIEM EFEKTÓW ELEMENTÓW WIRUJĄCYCH ZESPOŁU NAPĘDOWEGO*

JERZY MARYNIAK, WITOLD MOLICKI (WARSZAWA)

ITLIMS Politechnika Warszawska

1. Wyprowadzenie równań ruchu samolotu

Ruch samolotu w przestrzeni opisano stosując następujące układy odniesienia (rys. 1):

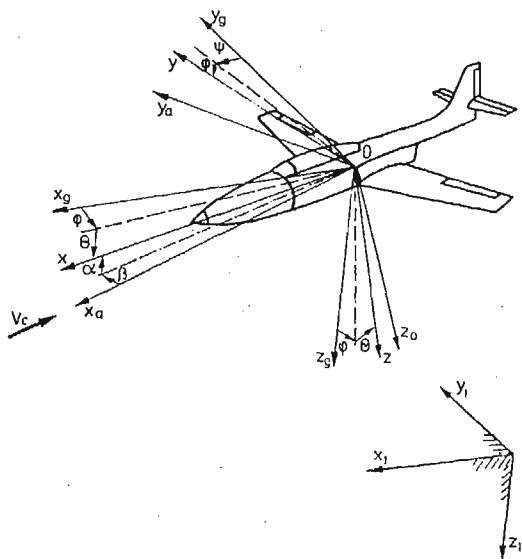
$OXYZ$ — układ „samolotowy” sztywno związany z poruszającym się samolotem,

$OX_aY_aZ_a$ — układ „prędkościowy” związany z kierunkiem przepływu,

$OX_gY_gZ_g$ — układ grawitacyjny związany z poruszającym się samolotem równoległy do układu $OX_1Y_1Z_1$.

$OX_1Y_1Z_1$ — nieruchomy układ grawitacyjny związany z ziemią.

Dodatkowo wprowadzono układ współrzędnych CX, Y, Z , związany z silnikiem. Początek C układu umieszczony jest w środku masy zespołu turbina — sprężarka, oś X , skierowana

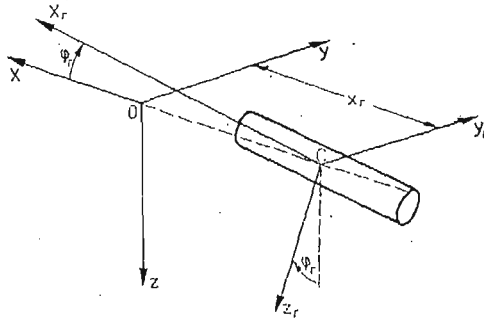


Rys. 1.

*¹) Praca przedstawiona na I Ogólnopolskiej Konferencji. *Mechanika w Lotnictwie*. Warszawa 19.1.1984.

jest wzdłuż osi obrotu zespołu ku przodowi płatowca, oś Z_r leży w płaszczyźnie symetrii samolotu i jest skierowana ku spodowi płatowca, zaś oś Y_r tworzy z dwoma poprzednimi prawoskrętny układ kartezjański (rys. 2). Przyjęto, że środek masy zespołu turbina-sprężarka leży w odległości x_r od początku układu $OXYZ$, a oś X_r tworzy z osią X kąt φ_r . Dla tak przyjętych układów współrzędnych macierz prędkości kątowej Ω silnika w układzie $OXYZ$ ma postać:

$$\Omega = \text{col}[P + \omega_r \cos \varphi_r, Q, R - \omega_r \sin \varphi_r], \quad (1)$$



Rys. 2.

gdzie: ω_r — prędkość kątowa zespołu wirującego w układzie $CX_r Y_r Z_r$,
 P, Q, R — prędkości kątowe samolotu w układzie $OXYZ$.

Macierz prędkości liniowych środka masy zespołu wirującego w układzie $OXYZ$ ma postać:

$$V = \text{col}[U, V - Rx_r, W + Qx_r], \quad (2)$$

gdzie: U, V, W — prędkości środka masy samolotu w układzie $OXYZ$. Samolot potraktowano jako ciało o siedmiu stopniach swobody, bez uwzględniania drgań powierzchni sterowych. Jako siódmy stopień swobody przyjęto ruch obrotowy zespołu turbina-sprężarka wokół własnej osi.

Dynamiczne równania ruchu samolotu w przestrzeni wyprowadzono stosując równania Boltzmana-Hamela [2, 3]

$$\frac{d}{dt} \left(\frac{\partial T^*}{\partial \omega_\mu} \right) - \frac{\partial T^*}{\partial \pi_\mu} + \sum_{r=1}^k \sum_{\alpha=1}^k \gamma_{\alpha\mu}^r \frac{\partial T^*}{\partial \omega_r} \omega_\alpha = Q_\mu^*, \quad (3)$$

gdzie: T^* — energia kinetyczna układu wyrażona w quasi-współrzędnych i quasi-prędkościach,

$\gamma_{\alpha\mu}^r$ — trójwskaźnikowe symbole Boltzmana,

Q_μ^* — siły uogólnione wyrażone w quasi-współrzędnych i quasi-prędkościach.

Jako współrzędne uogólnione przyjęto:

$q_1 = x_1, q_2 = y_1, q_3 = z_1$ — odległości środka masy samolotu od początku układu współrzędnych $OX_1 Y_1 Z_1$,

$q_4 = \Phi, q_5 = \theta, q_6 = \Psi$ — kąty przechylenia, pochylenia i odchylenia samolotu mierzone od nieruchomego układu współrzędnych związanego z samolotem $OX_\theta Y_\theta Z_\theta$ do ruchomego sztywno związanego z samolotem układu $OXYZ$,

$q_7 = \varphi_w$ — kąt obrotu zespołu wirującego turbina-sprężarka.

Przyjmując zależności (1 - 3) otrzymano [7] równania ruchu samolotu w locie przestrzennym uwzględniające oddziaływania elementów wirujących zespołu napędowego:

$$\dot{U}m + QWm - RVm + R^2m_r x_r + Q^2m_r x_r = X^*; \quad (a)$$

$$\dot{V}m - \dot{R}m_r x_r - (PW - RU)m - PQm_r x_r = Y^*; \quad (b)$$

$$\dot{W}m + \dot{Q}m_r x_r - (QU - PV)m - PRm_r x_r = Z^*; \quad (c)$$

$$\begin{aligned} & \dot{P}(J_x + J_{x_r} \cos^2 \varphi_r + J_{z_r} \sin^2 \varphi_r) - \dot{R}[J_{xz} + (J_{x_r} - J_{z_r}) \sin \varphi_r \cos \varphi_r] - \dot{Q}J_{xy} + \\ & + \dot{n} \frac{\pi}{30} J_{x_r} (\cos^3 \varphi_r + \sin^2 \varphi_r \cos \varphi_r) + (R^2 - Q^2)J_{yz} - QR(J_y - J_z + J_{y_r}) + \\ & - J_{z_r} \cos^2 \varphi_r - J_{x_r} \sin^2 \varphi_r + m_r x_r^2) - PQ[J_{xz} + (J_{x_r} - J_{z_r}) \sin \varphi_r \cos \varphi_r] + \\ & + PRJ_{xy} + Qn \frac{\pi}{30} J_{x_r} (\sin^3 \varphi_r + \cos^2 \varphi_r \sin \varphi_r) = L^*; \end{aligned} \quad (d)$$

$$\begin{aligned} & \dot{Q}(J_y + J_{y_r} + 2m_r x_r^2) + \dot{W}m_r x_r - \dot{P}J_{xy} - \dot{R}J_{yz} + (P^2 - R^2)[J_{xz} + \\ & + (J_{x_r} - J_{z_r}) \sin \varphi_r \cos \varphi_r] + PQJ_{yz} - RQJ_{xy} - PR[J_z - J_x - J_{x_r} (\cos^2 \varphi_r + \\ & - \sin^2 \varphi_r) - J_{z_r} (\sin^2 \varphi_r - \cos^2 \varphi_r) + m_r x_r^2] + (PV - QU)m_r x_r + \\ & + nR \frac{\pi}{30} J_{x_r} (\cos^3 \varphi_r + \sin^2 \varphi_r \cos \varphi_r) + nP \frac{\pi}{30} J_{x_r} (\sin^3 \varphi_r + \cos^2 \varphi_r \sin \varphi_r) = M^*; \end{aligned} \quad (e)$$

$$\begin{aligned} & \dot{R}(J_z + J_{z_r} \cos^2 \varphi_r + J_{x_r} \sin^2 \varphi_r + m_r x_r) - \dot{P}[J_{xz} + (J_{x_r} - J_{z_r}) \sin \varphi_r \cos \varphi_r] + \\ & - \dot{Q}J_{yz} - \dot{V}m_r x_r - \dot{n} \frac{\pi}{30} J_{x_r} (\sin^3 \varphi_r + \cos^2 \varphi_r \sin \varphi_r) + (Q^2 - P^2)J_{xy} + \\ & - PQ(J_x - J_y + J_{x_r} \cos^2 \varphi_r + I_{z_r} \sin^2 \varphi_r - J_{y_r} - 2m_r x_r^2) + QR[J_{xz} + \\ & + (J_{x_r} - I_{z_r}) \sin \varphi_r \cos \varphi_r] - PRJ_{yz} + (PW - UR)m_r x_r + \\ & - Qn \frac{\pi}{30} J_{x_r} (\cos^3 \varphi_r + \sin^2 \varphi_r \cos \varphi_r) = N^*; \end{aligned} \quad (f)$$

$$\begin{aligned} & \dot{n}J_{x_r} (\sin^2 \varphi_r + \cos^2 \varphi_r)^2 - \dot{R}J_{x_r} (\sin \varphi_r + \cos^2 \varphi_r \sin \varphi_r) + \\ & + \dot{P}J_{x_r} (\cos^3 \varphi_r + \sin^2 \varphi_r \cos \varphi_r) = n^*; \end{aligned} \quad (g)$$

Dodatkowo uwzględniono:

— związki kinematyczne prędkości liniowych

$$\begin{aligned} \dot{x}_1 &= U \cos \theta \cos \psi + V(\sin \phi \sin \theta \cos \psi - \cos \phi \sin \psi) + \\ & + w(\cos \phi \sin \theta \cos \psi + \sin \phi \sin \psi), \\ \dot{y}_1 &= U \cos \theta \sin \psi + V(\sin \phi \sin \theta \sin \psi + \cos \phi \cos \psi) + \\ & + w(\cos \phi \sin \theta \sin \psi - \sin \phi \cos \psi), \\ \dot{z}_1 &= -U \sin \theta + V \sin \phi \cos \theta + w \cos \phi \cos \theta; \end{aligned} \quad (5)$$

— związki kinematyczne prędkości kątowych

$$\begin{aligned} \dot{\phi} &= P + Q \sin \phi \operatorname{tg} \theta + R \cos \phi \operatorname{tg} \theta, \\ \dot{\theta} &= Q \cos \phi - R \sin \phi, \\ \dot{\psi} &= Q \sin \phi \operatorname{sec} \theta + R \cos \phi \operatorname{sec} \theta, \end{aligned} \quad (6)$$

— zmianę kąta natarcia α , kąta ślizgu β , prędkości liniowej samolotu v_c , oraz gęstości powietrza ρ :

$$\alpha = \arcsin \frac{w}{\sqrt{u^2 + w^2}}; \quad \beta = \arcsin \frac{v}{V_c}; \quad V_c^2 = U^2 + v^2 + W^2; \quad (7)$$

$$\rho = \rho_0(1 + z_1/44300)^{4,256} \quad \text{dla} \quad h = -z_1 \leq 11 \text{ km.}$$

Prawe strony równań (4) określono następująco [4, 5]

$$\begin{bmatrix} X^* \\ Y^* \\ Z^* \end{bmatrix} = A_{BW} \begin{bmatrix} X \\ Y \\ Z \end{bmatrix}; \quad \begin{bmatrix} L^* \\ M^* \\ N^* \end{bmatrix} = A_{BW} \begin{bmatrix} L \\ M \\ N \end{bmatrix}; \quad n^* = -\frac{nJx_r}{\tau_2}; \quad (8)$$

gdzie X, Y, Z, L, M, N — oznaczają siły i momenty działające na samolot. Wyrażenia te wyprowadzone w układzie „prędkościowym” mają postać [8]:

$$\begin{aligned} X &= -P_x + P_y \cos(\varphi_r + \alpha) - (P_{xH} + P_{xv}) \cos \varepsilon - P_{zH} \sin \varepsilon - P_{yv} \sin(\beta_0 + \delta) \cos \varepsilon - mg \sin \theta, \\ Y &= P_y + P_{sy} + P_{yv} \cos(\beta_0 + \delta) - mV_A^2/R + Y_r + mg \cos \theta \sin \phi, \\ Z &= -P_z - P_s \sin(\varphi_r + \alpha) - P_{zH} \cos \varepsilon + (P_{xH} + P_{xv}) \sin \varepsilon + mg \cos \theta \cos \phi, \\ L &= L_{\delta v} + L_{\delta L} + L_v + L_r + L_Q + L_T, \\ M &= M_{bH} - P'_{zH} X_{AH} + P'_{xH} Z_{AH} + P_{xv} \sin(\alpha - \varepsilon) z_{Av} + M_Q + M_T, \\ N &= N_{\delta v} + N_v + N_r + N_Q + N_T, \end{aligned} \quad (9)$$

A_{BW} — oznacza macierz transformacji z układu „prędkościowego” do układu „samolotowego” i przedstawia się następująco:

$$A_{BW} = \begin{bmatrix} \cos \alpha \cos \beta & -\cos \alpha \sin \beta & -\sin \alpha \\ \sin \beta & \cos \beta & 0 \\ \sin \alpha \cos \beta & -\sin \alpha \sin \beta & \cos \alpha \end{bmatrix}; \quad (10)$$

τ_2 — stała czasowa silnika turboodrzutowego σ mająca postać:

$$\tau_2 = \left[(1,269 - 0,703 \text{ Ma}) - (2,978 - 1,961 \text{ Ma}) \left(\frac{n}{10^3 \sqrt{T_H}} \right) + (1,82 + \right.$$

$$\left. - 1,333 \text{ Ma}) \left(\frac{n}{10^3 \sqrt{T_H}} \right)^2 \right] \left[1 + 0,3 \left(\frac{Q_0(t - \tau_0) - Q_0}{Q_0} \right)^2 \right] \frac{\sqrt{T_H}}{P_H}, \quad (11)$$

gdzie Q_0 — charakterystyka statyczna silnika $Q_0 = f(n)$:

$$Q_0 = \left[-57,1 + 387 \left(\frac{n}{10^3 \sqrt{T_H}} \right) - 704 \left(\frac{n}{10^3 \sqrt{T_H}} \right)^2 + 475 \left(\frac{n}{10^3 \sqrt{T_H}} \right)^3 \right] \times$$

$$\times \left[1 + 1,88 \text{ Ma} \left(\left(\frac{n}{10^3 \sqrt{T_H}} \right) - 0,9 \right) \right] P_H \sqrt{T_H}, \quad (12)$$

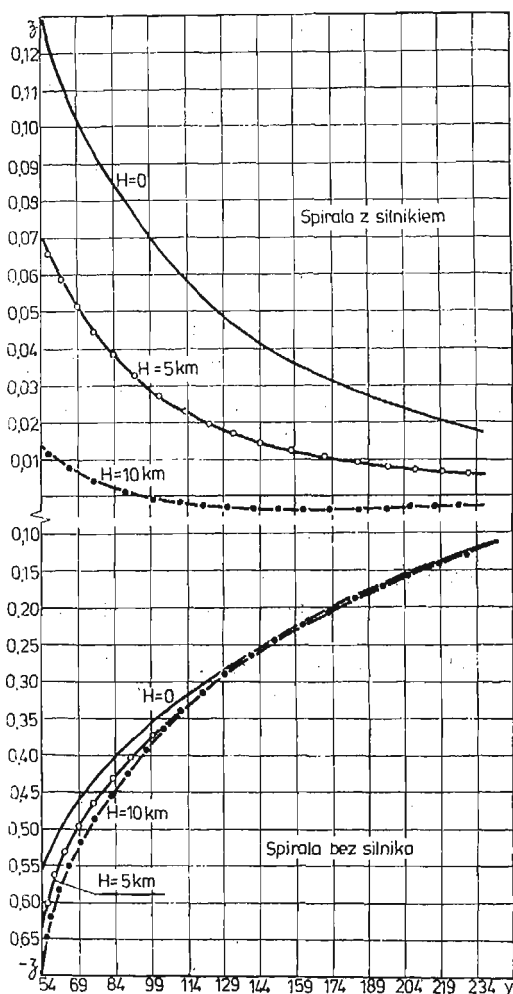
τ_0 — stała czasowa $\tau_0 = f(n)$,

$$\tau_0 = \frac{0,094 - 0,0196 \left(\frac{n}{10^3 \sqrt{T_H}} \right) + 0,106 \left(\frac{n}{10^3 \sqrt{T_H}} \right)^2}{1 + 0,2 \left(\frac{|Q_0(t - \tau_0) - Q_0|}{Q_0} \right)} \frac{\sqrt{T_H}}{P_H}, \quad (13)$$

P_h, T_h — ciśnienie i temperatura powietrza na wysokości H nad poziomem morza,
 Ma — liczba Macha dla danej prędkości i wysokości lotu.

2. Badanie stateczności spiralnej samolotu w ruchu przestrzennym

Otrzymany układ równań (4÷7) zlinearyzowano stosując metodę małych zakłóceń wokół położenia równowagi. Otrzymano układ trzynastu równań różniczkowych pierwszego rzędu. Układ ten poddano analizie modalnej w celu wnioskowania o jego stateczności. Wyniki obliczeń numerycznych dla postaci ruchu nazywanego spiralą przedstawiono



Rys. 3.

na rysunku 3 — zmiana współczynnika tłumienia ζ w funkcji prędkości. Jako samolot testowy do obliczeń przyjęto samolot TS-11 „ISKRA” wyposażony w silnik SO-3, ze względu na dostęp do niezbędnych danych. Obliczenia wykonano w pełnym zakresie prędkości lotu, oraz dla trzech wybranych wysokości lotu.

Uwzględnienie w modelu samolotu elementów wirujących zespołu napędowego w zdecydowany sposób zmieniło jakościowo i ilościowo rozwiązania równań ruchu przestrzennego samolotu, wpływając na pogorszenie stateczności ruchu „spiralnego”.

Literatura

1. B. ETKIN, *Dynamics of Atmospheric Flight*, J. Wiley, New York 1972.
2. J. MARYNIAK, *Dynamiczna teoria obiektów ruchomych*. Prace naukowe—Mechanika nr. 32, Politechnika Warszawska, Warszawa 1975.
3. R. GUTOWSKI, *Mechanika Analityczna*, PWN, Warszawa 1971.
4. I. W. OSTOSŁAWSKI, *Aerodynamika samolota*. GIOP, Moskwa 1957.
5. W. FISZDON, *Mechanika Lotu*. t.1, 2, PWN, Łódź—Warszawa 1960.
6. F. LENORT, *Próba określenia modelu matematycznego silnika turboodrzutowego jako obiektu regulacji*. Prace ILOT nr 68, WNT, Warszawa 1972.
7. W. MOLICKI, *Modelowanie własności dynamicznych samolotu w locie przestrzennym z uwzględnieniem mas wirujących*. XXII Sympozjon Modelowanie w mechanice — zbiór referatów (s. 299 - 306) Gliwice — PTMTS 1983.
8. Z. GORAJ, *Obliczenia sterowności, równowagi i stateczności samolotu w zakresie poddźwiękowym*. Politechnika Warszawska — skrypt (w druku).

Резюме

СПИРАЛЬНАЯ УСТОЙЧИВОСТЬ САМОЛЁТА В ПРОСТРАНСТВЕННОМ ДВИЖЕНИИ
УЧИТЫВАЯ ЭФФЕКТА ВРАЩАТЕЛЬНЫХ ЭЛЕМЕНТОВ СИЛОВОЙ УСТАНОВКИ

В работе обсуждено спиральную устойчивость самолёта в пространственном движении. Предложено динамическую модель самолёта с силовой установкой. Представлено результаты численных решения для спиральной устойчивости.

Summary

SPIRAL STABILITY OF AIRPLANE IN A SPACE MOTION
WITH THE EFFECT OF POWER UNIT SPIN ELEMENTS

In the paper, the problem of spiral stability in a space motion is presented. Dynamic model of an airplane with power unit is proposed. Solution of the spiral stability motions have been obtained by means of a digital computer.

Praca została złożona 25 grudnia 1984 roku